

## 4. Hiperkocka

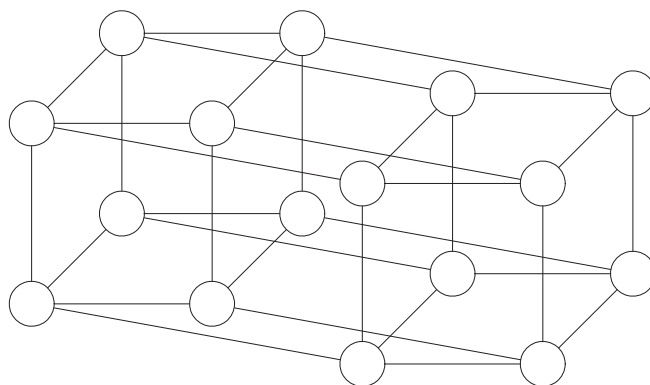
Ebben a fejezetben először a felhasznált számítási modelleket mutatjuk be, azután speciális hálózatos (mint a csomagirányítás, üzenetszórás, adatkoncentráció), végül tipikus „soros” (mint a kiválasztás, összefésülés, rendezés, gráfokkal kapcsolatos problémák) feladatokat megoldó algoritmusokat elemzünk.

### 4.1. Számítási modellek

Ebben az alfejezetben egyrészt a hiperkocka és pillangó számítási modelleket, másrészt hálózatok egymásba ágyazását tárgyaljuk.

#### 4.1.1. Hiperkocka

Az első fejezetben szereplő definíció szerint egy  $d$  dimenziós hiperkocka, amelyet  $\mathcal{H}_d$  vel jelölünk,  $2^d$  processzorból áll.  $\mathcal{H}_d$  minden processzora megcímkézhető egy  $d$  bites bináris számmal. A harmadik fejezetben lévő ?? ábra egy 3 dimenziós, a 4.1. ábra pedig egy 4 dimenziós hiperkockát ábrázol.



4.1. ábra. 4 dimenziós hiperkocka.

A processzort és címkejét ugyanazon szimbólummal jelöljük.

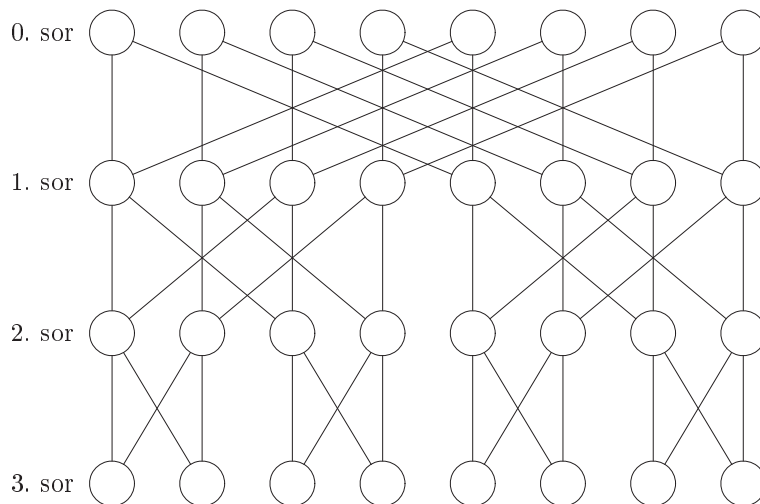
Ha  $v$  egy  $d$  bites bináris szám, akkor  $v$  első bitjét tekintjük legmagasabb helyiértékűnek. Jelölje  $v(i)$  azt a  $d$  bites bináris számot, amely  $v$ -től csak az  $i$ -edik bitjében tér el.  $\mathcal{H}_d$  minden  $P_v$  processzorára igaz, hogy az pontosan a  $P_{v(i)}$  ( $i = 1, 2, \dots, d$ ) processzorokkal van összekapcsolva. A  $(v, v(i))$  kapcsolatot  *$i$ -edik szintű kapcsolatnak* nevezzük. Mivel  $\mathcal{H}_d$  minden processzora pontosan  $d$  másikkal van összekötve, így  $\mathcal{H}_d$   $d$ -reguláris és a fokszáma  $d$ .

Az  $u$  és  $v$  bináris számok Hamming-távolsága azon bitpozíciók száma, amelyeken a két bináris szám eltér. Jele  $H(u, v)$ . A  $\mathcal{H}_d$  hiperkocka bármely  $P_u$  és  $P_v$  processzora között van  $H(u, v)$  hosszúságú út. Ha ugyanis  $u$  és  $v$  két processzor  $\mathcal{H}_d$ -ben, akkor egy közöttük vezető út megadható a következő módon. Legyenek  $i_1, i_2, \dots, i_k$  azon bitpozíciók (növekvő sorrendben) amelyeken  $P_u$  és  $P_v$  eltérnek. Ekkor létezik a következő útvonal:  $u = w_0, w_1, w_2, \dots, w_k = v$ , ahol  $w_j = w_{j-1}(i, j)$  ( $1 \leq j \leq k$ ). Ebből következik, hogy egy  $d$ -dimenziós hiperkocka átmérője pontosan  $d$ . A hiperkocka minden processzora egy helyi memóriával rendelkező RAM, amely minden alapvető műveletet (összeadás, kivonás, szorzás, osztás, összehasonlítás vagy a hozzáférés a helyi memóriához stb.) egységnyi idő alatt végez el. A processzorok közötti kommunikáció a processzorokat összekötő kapcsolatok mentén történik. Ha két processzor között nincs közvetlen kapcsolat, akkor a kommunikáció az egyik processzortól a másikig vezető út mentén lehetséges, ám az adatátvitel időigénye egyenesen arányos az út hosszával.

A kommunikáció egyidejűsége szempontjából kétféle hiperkockát különböztethetünk meg. Az első típus a **soros** vagy egyportos hiperkocka, amelynél egy processzor egységnyi idő alatt egyetlen szomszédjával képes kommunikálni. Ezzel szemben a **párhuzamos** vagy többportos hiperkocka egy processzora egységnyi idő alatt mind a  $d$  szomszédjával képes adatot cserélni. A továbbiakban mindig jelölni fogjuk, hogy melyik kommunikációs modellt használjuk. Mindkét megoldás szinkron processzorműködést tételez fel, azaz minden időegységben a processzorok mindegyike pontosan egy utasítást hajt végre. A hiperkockáknak több – számunkra kedvező – tulajdonsága is van. Az egyik a kicsi átmérő. Egy  $p$  processzoros hiperkockának az átmérője  $\lg p$ , míg az azonos számú processzort tartalmazó rács átmérője legalább  $2(\sqrt{p} - 1)$ . Egy másik kedvező tulajdonság, hogy  $\mathcal{H}_{d+1}$  felépíthető rekurzívan. Vegyük ugyanis  $\mathcal{H}_d$  két példányát,  $\mathcal{H}'$ -t és  $\mathcal{H}''$ -t. Egészítsük ki  $\mathcal{H}'$  processzorainak címkéjét a 0 prefixszel,  $\mathcal{H}''$ -ét pedig az 1 prefixszel. Ezután  $\mathcal{H}'$  minden  $P_v$  processzorát kössünk össze  $\mathcal{H}''$   $P_{v(1)}$  processzorával. Ez a tulajdonság megfordítva azt is jelenti, hogy  $\mathcal{H}_{d+1}$   $\mathcal{H}_d$ -nek két példányát tartalmazza. Például azon processzorok, amelyek címkéjének első bitje 0, ha csak a közöttük futó kapcsolatokat vesszük figyelembe, pontosan kiadják  $\mathcal{H}_d$ -t. Sőt, tetszőleges  $1 \leq q \leq d$ -re, azon processzorok, amelyek címkéjének  $q$ -edik bitje azonos, kiadják  $\mathcal{H}_d$ -t. Még általánosabban, ha rögzítjük  $i$  ( $1 \leq i \leq d + 1$ ) bit értékét, a megadott feltételt kielégítő processzorok  $\mathcal{H}_{(d+1)-i}$ -t alkotnak.

### 4.1.2. Pillangó hálózat

A pillangóhálózat közeli kapcsolatban áll a hiperkockákkal. A pillangóhálózatokra tervezett algoritmusok könnyedén átültethetők hiperkockákra és fordítva. Valójában gyakran könnyebb az adott probléma megoldását pillangóhálózaton elkészíteni, majd onnan átültetni hiperkockára. Egy  $d$ -dimenziós pillangóhálózat, amelyet  $\mathcal{B}_d$ -vel fo-

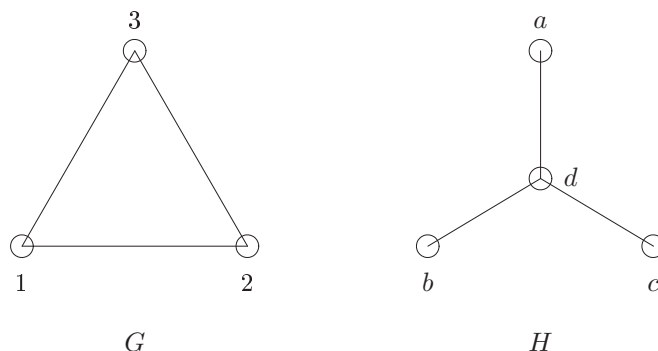


4.2. ábra. 4 sorban 32 processzort tartalmazó pillangó hálózat.

gunk jelölni,  $p = (d + 1)2^d$  processzorból és  $d2^{d+1}$  élből áll.  $\mathcal{B}_d$  minden processzora egy  $\langle r, l \rangle$  párral jellemezhető, ahol  $0 \leq r \leq 2^d - 1$  és  $0 \leq l \leq d$ . Az  $r$  változót a processzor **sorindexének** nevezzük, míg  $l$  a processzor **szintje**. Egy  $P_u = \langle r, l \rangle$  processzor ( $0 \leq l < d$ )  $\mathcal{B}_d$ -ben két, az  $(l + 1)$ -edik szinten levő processzorral összekötve, a  $P_v = \langle r, l + 1 \rangle$  és  $w = \langle r(l + 1), l + 1 \rangle$  processzorokkal. Az  $(u, v)$  kapcsolatot **közvetlen kapcsolatnak**,  $(u, w)$ -t pedig **kereszt kapcsolatnak** nevezzük. Mindkét típust  $(l + 1)$ -edik szintű kapcsolatnak mondjuk. Mivel minden processzor pontosan négy másikkal van összekötve, így  $\mathcal{B}_d$  csúcsainak fokszáma  $(d$ -től, illetve  $p$ -től függetlenül) négy, ezért a  $d$ -dimenziós pillangó hálózat 4-reguláris és a fokszáma 4. Ha  $P_u$  egy 0-adik szintű processzor és  $P_v$  egy  $d$ -edik szintű, akkor létezik (és egyértelműen meg van határozva) egy  $d$  hosszúságú út  $P_u$  és  $P_v$  között. Legyen  $P_u = \langle r, 0 \rangle$  és  $P_v = \langle r', d \rangle$ . Ekkor az út  $\langle r, 0 \rangle, \langle r_1, 1 \rangle, \langle r_2, 2 \rangle, \dots, \langle r', d \rangle$ , ahol  $r_i$ -nek az első  $i$  bitje megegyezik  $r'$ -vel, a többi pedig  $r$ -rel ( $1 \leq i \leq d - 1$ ). Vegyük észre, hogy ez az út létezik a pillangókapcsolatok definíciója miatt. Ezt az utat **mohó útnak** nevezzük. A 4.2. ábrán  $\mathcal{B}_3$  látható. A vastagított vonal a  $P_u = \langle 100, 0 \rangle$  és  $P_v = \langle 010, 3 \rangle$  közötti mohó utat jelöli.

A fentiekből következik, hogy  $\mathcal{B}_d$ -ben bármely két processzor távolsága legfeljebb  $2d$ . A korlát éles, hiszen például a  $P_u = \langle 0, d \rangle$  és  $P_v = \langle 2^d - 1, d \rangle$  processzorok távolsága pontosan ennyi, így  $\mathcal{B}_d$  átmérője  $2d$ . A pillangóhálózat is rendelkezik a hiperkockához hasonló rekurzív tulajdonsággal. Ha  $\mathcal{B}_d$ -ből eltávolítjuk a 0-adik szinten lévő processzorokat a hozzájuk csatlakozó élekkel együtt, akkor a hálózat két  $(d - 1)$ -dimenziós pillangóhálózatra esik szét.

$\mathcal{H}_d$  és  $\mathcal{B}_d$  között szoros kapcsolat van. Ha  $\mathcal{B}_d$  minden sorát egyetlen processzorba fogjuk össze, megtartva a kimenő éleket, akkor az eredményül kapott gráf  $\mathcal{H}_d$  (a keletkező többszörös éleket egyetlen példánnyal helyettesítve). Ennek következményeként kapjuk a következő lemmát.



4.3. ábra. Példa beágyazásra.

**4.1. lemma** (pillangó hálózat szimulálása).  $\mathcal{B}_d$  minden végrehajtási lépése szimulálható egy párhuzamos  $\mathcal{H}_d$  egyetlen lépésével vagy egy soros  $\mathcal{H}_d$   $d$  lépésével.

Egy  $\mathcal{B}_d$  algoritmust **normálisnak** nevezünk, ha minden időpillanatban legfeljebb egy szint processzorai vesznek részt a kiszámításban.

**4.2. lemma** (normális algoritmus szimulálása). Egy normális  $\mathcal{B}_d$  egy lépése szimulálható egy soros  $\mathcal{H}_d$  egyetlen lépésével.

### 4.1.3. Hálózatok beágyazása

Egy hálózatnak egy másikra történő leképezését *beágyazásnak* nevezzük. Formálisan, a  $G(V_1, E_1)$  hálózat beágyazása a  $H(V_2, E_2)$  hálózatba, egy leképezés  $V_1$ -ről  $V_2$ -re.  $G$ -nek  $H$ -ra való leképezését felhasználva a  $G$  hálózatra tervezett algoritmusok lefuttathatók a  $H$  hálózaton. A 4.3. ábra bal oldalán látható  $G$  hálózat egy lehetséges beágyazása  $H$ -ba a következő leképezés:  $1 \rightarrow b, 2 \rightarrow c, 3 \rightarrow a$ .

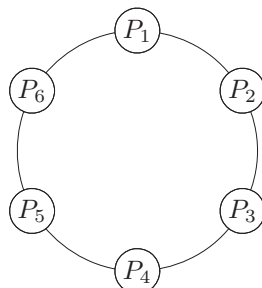
A beágyazás **felfűvódásának** a  $|V_2|/|V_1|$  hányadost nevezzük. A beágyazás **késleltetése**a leghosszabb út hossza, amelyre  $G$ -nek egy éle leképeződött. A  $H$  hálózat egy éle **torlódásának** nevezzük az adott élt használó olyan utak számát, amelyekre  $G$  valamely élét leképeztük. A **beágyazás torlódása** a  $H$  élei torlódásának maximuma.

A 4.3. ábrán látható példában a felfűvódás mértéke  $4/3$ , a késleltetés 2, mivel minden él egy-egy kettő hosszúságú útra képeződött le. Hasonlóan a  $H$  összes élének torlódása 2, így az egész leképezés torlódása is 2.

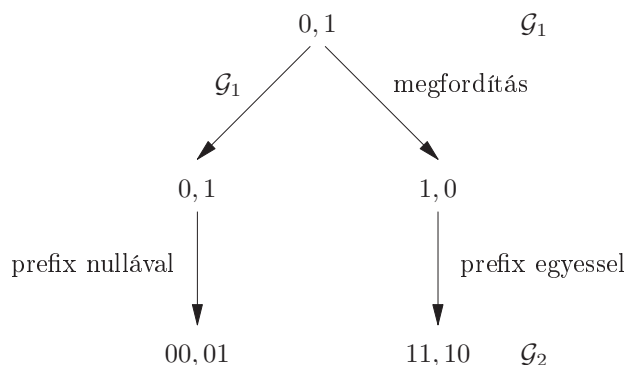
### Gyűrű beágyazása

A  $p$  processzoros gyűrű egy síkhálózat, amelyben a  $P_i$  ( $1 \leq i \leq p$ ) processzor a  $P_{i+1}$  és a  $P_{i-1}$  processzorokkal van összekötve – ahol az indexeket (mod  $p$ ) vesszük. A 4.4. ábra egy 6 processzoros gyűrűt ábrázol.

Megmutatjuk, hogyan lehet egy  $2^d$  processzoros gyűrűt beágyazni  $\mathcal{H}_d$ -be.  $\mathcal{H}_d$  processzorait  $d$  bites bináris számokkal címkézzük. Ha a gyűrű processzorait 0-tól  $(2^d - 1)$ -ig indexeljük a gyűrű mentén, akkor a 0-s processzor  $\mathcal{H}_d$  000...00 jelű



4.4. ábra. 6 processzoros gyűrű.



4.5. ábra. Gray-kód létrehozása.

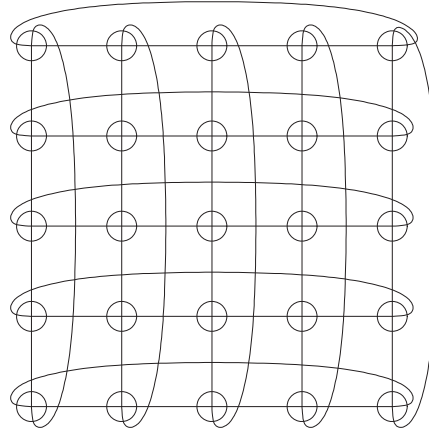
processzorára fog leképződni, a többi processzor megfelelőjét a Gray-kód segítségével határozhatjuk meg.

A ***k*-ad rendű Gray-kód** – jele  $\mathcal{G}_k$  – a  $k$ -bites bináris számok egy adott permutációját definiálja. Az elsőrendű Gray-kód ( $\mathcal{G}_1$ ) a következő: 0, 1.  $\mathcal{G}_k$ -t ( $k > 1$ )-re rekurzívan definiáljuk a következőképpen:  $0[\mathcal{G}_{k-1}]$ ,  $1[\mathcal{G}_{k-1}]R$ , ahol  $0[\mathcal{G}_{k-1}]$  a  $(k-1)$ -edrendű Gray-kód elemeit jelenti úgy, hogy mindegyikükhöz hozzáragasztunk egy 0 prefixet. Hasonlóképpen  $1[\mathcal{G}_{k-1}]R$  is a  $(k-1)$ -edrendű Gray-kód elemeit jelenti, ám fordított sorrendben és 1-es prefixszel.

A 4.5. ábra azt mutatja, hogyan származtatható  $\mathcal{G}_2$  a  $\mathcal{G}_1$  kódból.  $\mathcal{G}_0$  elemei a nullás prefixszel a 00, 01 sorozatok adják,  $\mathcal{G}_1$  elemeinek megfordítása az egyes prefixszel pedig az 11, 10 sorozatot eredményezi. Tehát  $0[\mathcal{G}_2] = 00, 11, 11, 10$ .

A  $\mathcal{G}_k$   $i$ -edik elemét ( $0 \leq i \leq 2^k - 1$ )  $g(i, k)$ -val jelöljük.

A Gray-kód egyik tulajdonsága, hogy a szomszédos elemek pontosan egy bitben térnek el egymástól. Ebből az következik, hogy  $\mathcal{G}_d$  a  $\mathcal{H}_d$  processzorainak egy olyan permutációja, hogy a sorban egymást követő processzorok össze vannak kötve éllel a hiperkockában, azaz a gyűrű  $i$ -edik processzorát ( $0 \leq i \leq 2^d - 1$ ) a hiperkocka  $g(i, d)$  processzorára képezzük le.



4.6. ábra.  $5 \times 5$  méretű tórusz.

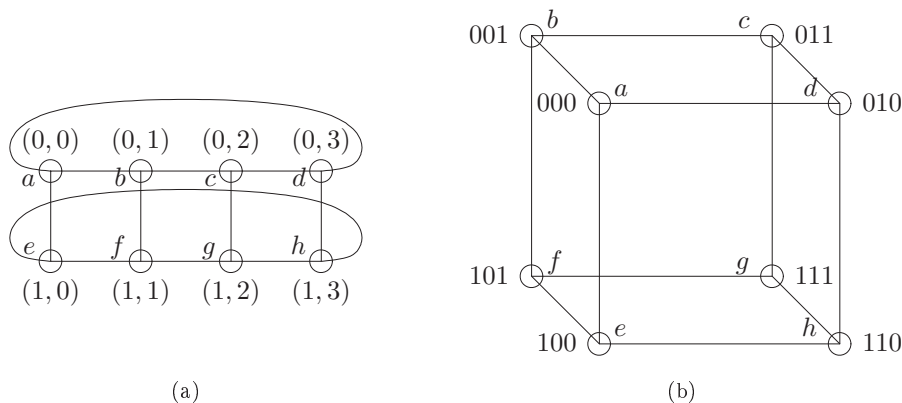
**4.3. tétel (gyűrű beágyazása hiperkockába).** Egy  $2^d$  processzorból álló gyűrű beágyazható  $\mathcal{H}_d$ -be úgy, hogy a felfűvódás, a késleltetés és a torlódás mindegyike 1.

#### Tórusz beágyazása

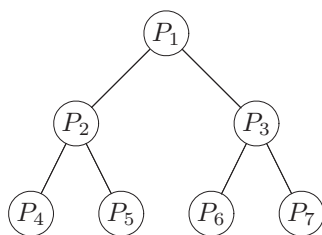
Egy  $m \times n$  tórusz származtatható egy  $m \times n$  méretű rácsból úgy, hogy a rács minden sorának első és utolsó processzorát, valamint minden oszlopának első és utolsó processzorát is összekötjük: tehát a rácsot kiegészítjük a  $P_{i,1}-P_{i,m}$  ( $1 \leq i \leq m$ ) és  $P_{1,j}-P_{1,n}$  ( $1 \leq j \leq n$ ) élekkel.

Már a  $3 \times 3$  méretű tórusz ábrázolásához is 3 dimenzióra van szükségünk. A 4.6. ábra egy  $5 \times 5$  méretű tóruszt ábrázol.

Legyen  $M$  egy  $2^r \times 2^c$  méretű tórusz. Megmutatjuk, hogy  $M$  beágyazható úgy egy hiperkockába, hogy a felfűvódás, a késleltetés és a torlódás mindegyike 1 legyen. Ez az állítás egyszerűen adódik az előző fejezet végén kimondott lemmából. Van  $2^r$  sor és  $2^c$  oszlop  $M$ -ben. Korábban már láttuk, hogy ha egy  $d$ -dimenziós hiperkockában a  $d$  bitből valamely  $q$ -t rögzítjük ( $1 \leq q \leq d-1$ ), akkor a feltételnek megfelelő processzorok egy  $\mathcal{H}_{d-q}$  alkockát alkotnak  $\mathcal{H}_d$ -ben. Ha egy  $(r+c)$ -bites bináris számnak rögzítjük az  $r$  **legnagyobb helyi értékű bitjét** (Most Significant Bits = MSB) és a maradék  $c$  bitet tetszőlegesen variáljuk, a kapott  $2^c$  szám egy alkockát határoz meg  $\mathcal{H}_{r+c}$ -ben. A fenti lemma értelmében ebbe az alkockába beágyazható egy  $c$  processzorból álló gyűrű. Az  $r$  MSB minden lehetséges megválasztásához megvan a megfelelő  $\mathcal{H}_c$ , így  $M$  minden sorát leképezhetjük egyre. Egészen pontosan az  $i$ -edik sort azon  $\mathcal{H}_c$ -re képezzük, amelyet úgy kapunk, hogy az  $r$  MSB értékét pontosan  $g(i,r)$ -re állítjuk. Ebből következik, hogy általában a tórusz  $P_{i,j}$  processzora a  $\mathcal{H}_{r+c}$   $P_{g(i,r),g(j,c)}$  processzorára képződik. Így minden sor szomszédos processzorai a hiperkocka szomszédos processzoraira képződnek. A fentihez hasonló gondolatmenettel belátható, hogy a megadott leképezés az oszlopok szomszédos elemeit is szomszédos processzorokra képezi. Ebből következik, hogy mind a felfűvódás a késleltetés és a torlódás 1.



4.7. ábra. Tórusz beágyazása hiperkockába.



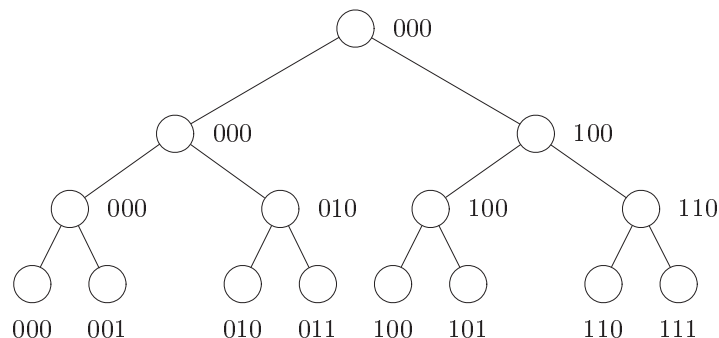
4.8. ábra. 3 szintes bináris fa hálózat.

A 4.7. ábra egy  $2 \times 4$  méretű tórusznak a  $\mathcal{H}_3$  pillangó hálózatba való beágyazását mutatja (a processzoroknak csak az indexe szerepel). Az ábra (a) részén ábrázolt tórusznak 2 sora (a nulladik és az első), valamint négy oszlopa (nulladik, első, második és harmadik) van. Például a tórusz  $P_{1,2}$  csúcsát a hiperkocka  $P_{g(1,1)g(2,2)} = P_{1,1,1}$ , csúcsára képezzük le. Az ábrán mind a két csúcsot  $g$  betűvel jelöltük.

### Bináris fa beágyazása

Egy  $d$  szintes (teljes) bináris fában  $p = 2^d - 1$  processzor van:  $P_1, P_2, \dots, P_p$ . Az adatszerkezetekkel kapcsolatos terminológia szerint a  $P_1$  processzort **gyökérnek**, a  $P_{(p+1)/2}, P_{(p+1)/2+1}, \dots, P_p$  processzorokat **levélnek** a többi processzort **belső processzornak** nevezzük. Ha  $P_i$  nem levél, akkor össze van kötve a **gyerekeinek** nevezett  $P_{2i}$  és  $P_{2i+1}$  processzorokkal. Ha  $P_j$  nem a gyökér, akkor össze van kötve a **szülőjének** nevezett  $P_{\lfloor j/2 \rfloor}$  processzorral. A 4.8. ábra egy 3 szintes bináris fa hálózatot ábrázol.

Bináris fák sokféle módon beágyazhatók hiperkockába. A következőkben megmutatjuk, hogy egy  $F$   $p$  levelű (teljes, bináris) fa (ahol  $p = 2^d$ ) beágyazható  $\mathcal{H}_d$ -be. Mivel a  $p$  levelű fának  $2p - 1$  processzora van, így a leképezés nem lehet kölcsönösen egyértelmű. Ha a leveleket  $0, 1, \dots, p - 1$  jelöli, akkor képezzük az  $i$ -edik levelet  $\mathcal{H}_d$   $i$ -edik processzorára.  $F$  belső processzorait pedig képezzük arra a processzorra,



4.9. ábra. Bináris fa beágyazása hiperkockába.

amelyre az adott processzor legbaloldalibb leszármazottját képeztük. A 4.9. ábrán egy 8 levelű bináris fa csúcsainak leképezését láthatjuk.

A fa csúcsai melletti bitsorozat a  $\mathcal{H}_3$  hiperkocka megfelelő csúcsának címkéje. Például a hiperkocka 0,0,0 csúcsára a fa 4 csúcsát képeztük le, míg az 1,1,1 csúcsra csak a fa egyetlen csúcsát.

A megadott beágyazás segítségével fa algoritmusokat hatékonyan szimulálhatunk soros hiperkockákkal. Ha a fa algoritmusban a számítás egy lépésében a fának legfeljebb egy szintjén lévő processzorok vesznek részt, akkor az a lépés a hiperkocka egyetlen lépésével szimulálható.

## 4.2. Csomagirányítás

A probléma: minden processzor legfeljebb egy csomagot küld és minden processzor legfeljebb egy csomag címzettje. Juttassuk el a csomagokat a feladótól a címzettekhez.

### 4.2.1. Mohó algoritmus

Tekintsük a csomagirányítási problémát először egy pillangóhálózaton, ahol kezdetben minden csomag a nulladik szinten helyezkedik el, a címzett processzorok pedig a  $d$ -edik, azaz a címzett sorok a küldő sorok egy *parciális permutációját* alkotják. A mohó megoldás a csomagirányítási problémára ekkor az, hogy minden csomagot a mohó úton küldünk címzettjéhez. Ekkor minden csomag pontosan  $d$  hosszúságú utat tesz meg, így a továbbiakban az algoritmus vizsgálatához csak azt kell megvizsgálnunk, hogy mennyi késleltetést szenvedhet el egy csomag útja során. Legyen  $u = \langle r, l \rangle$  egy tetszőleges processzor  $\mathcal{B}_d$ -ben. Ekkor legfeljebb  $2^l$  csomag mehet keresztül  $u$ -n, hiszen a hálózat minden processzorának (a nulladik szintet kivéve) pontosan két szomszédja van a felette levő szinten. Hasonlóan a processzoron átmenő minden csomag címzettje az  $u$ -ból elérhető  $2^{d-l}$   $d$ -edik szinten levő processzor valamelyike. Ebből az következik, hogy az  $u$  processzorba befutó bármelyik  $l$ -edik szintű élen



legfeljebb  $\min(2^{l-1}, 2^{d-l})$  csomag osztozik. Legyen most  $p$  egy tetszőleges csomag.  $p$  egy  $l$ -edik szintű élen áthaladva legfeljebb  $\min(2^{l-1}, 2^{d-l})$  késleltetést szenved el ( $l = 1, 2, \dots, d$ ). Így a maximális késleltetés, ami összesen egy csomagot érhet:

$$D = \sum_{l=1}^d \min\{2^{l-1}, 2^{d-l}\}. \quad (4.1)$$

Az általánosság megszorítása nélkül feltehetjük, hogy  $d$  páros. Ekkor  $D$  felírható a következőképpen:

$$D = \sum_{l=1}^{d/2} 2^{l-1} + \sum_{l=d/2+1}^d 2^{d-l} \quad (4.2)$$

$$= 2 * 2^{d/2} - 2 \quad (4.3)$$

$$= \Theta(2^{d/2}). \quad (4.4)$$

Az  $O(2^{d/2})$  érték felső korlát a maximális sorhosszúságra, ugyanis – mint láttuk – egy  $l$ -edik szintű processzoron legfeljebb  $\min(2^{l-1}, 2^{d-l})$  csomag haladhat át. Ezen érték maximuma ( $l = 1, 2, \dots, d$ -re) pedig  $2^{d/2}$ .

**4.4. tétel (mohó algoritmus lépésszáma).** *A mohó algoritmus  $\mathcal{B}_d$ -n  $O(2^{d/2})$  időben fut, a maximális sorhosszúság szintén  $O(2^{d/2})$ .*

### 4.2.2. Véletlenített algoritmus

A véletlenítés, mint oly sokszor korábban, itt is számottevően javíthatja az előbb említett mohó algoritmus tulajdonságait. Már a rácsokon értelmezett csomagirányítási feladatoknál is alkalmaztuk azt a megoldást, hogy a csomagot először egy véletlenszerűen választott közbülső állomásra küldjük, majd onnan továbbítjuk eredeti céljához. Ezzel a megoldással elérhetjük, hogy a csomagok nagy valószínűséggel nem találkoznak egyetlen másik csomaggal sem útjuk során, aminek következtében az egyes élek menti torlódás kialakulásának valószínűsége jelentősen csökken. Ezt a stratégiát követjük a pillangóhálózatok esetében is.

A probléma tehát az eredeti, a javasolt megoldás pedig a következő HÁROM-FÁZISÚ algoritmus:

1. *fázis.* A csomagot egy véletlenszerűen választott közbülső címre irányítjuk a  $d$ -edik szinten.

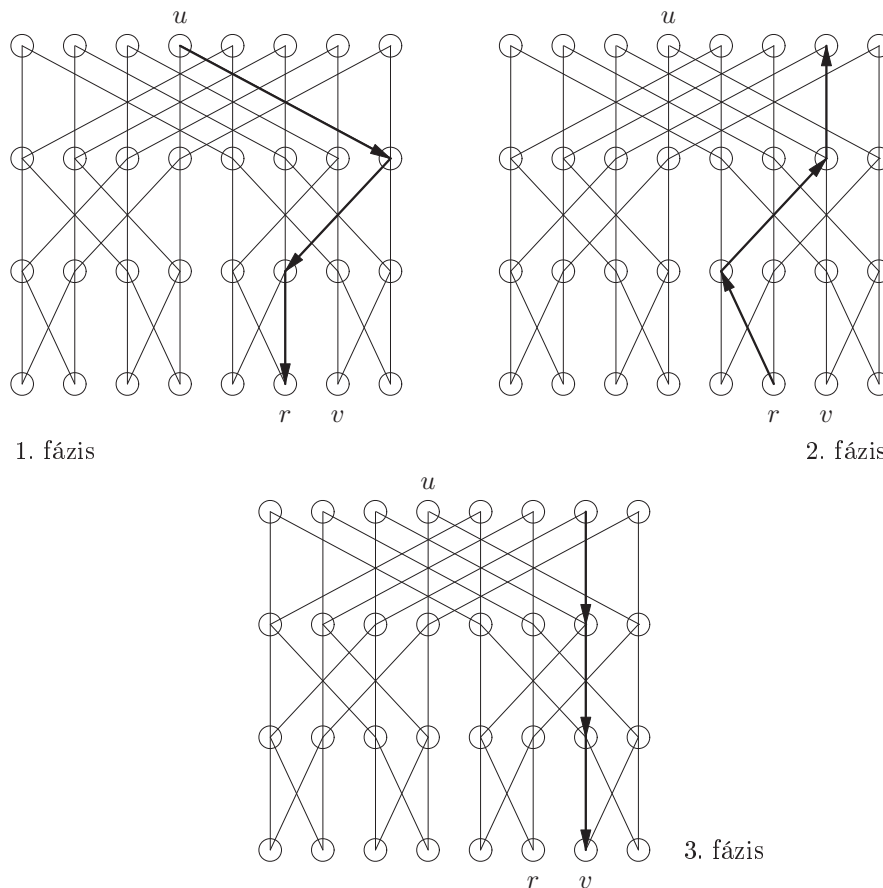
2. *fázis.* A csomagot az eredeti céljának megfelelő sorba irányítjuk, ám a nulladik szinten.

3. *fázis.* A csomagok elérik tényleges céljukat a  $d$ -edik szinten.

A 4.10. ábra szemlélteti az algoritmus 3 fázisát.

Az ábrán  $r$  a  $d$ -edik szint egy véletlenül választott csúcsa.  $u$  és  $v$  a vizsgált csomag kezdeti, illetve végső helye. A vastagított élek mutatják, hogy  $r$  az első fázisban eljut a  $d$ -edik szintre, onnan a második fázisban a nulladik szintre, végül a harmadik fázisban a csomag célba ér.

A harmadik fázisban a csomagok végig a közvetlen éleken közlekednek, így akkor torlódás nem léphet fel, ezért a harmadik fázis végrehajtása pontosan  $d$  lépést



4.10. ábra. Véletlenített csomagirányítás 3 fázisa.

igényel. A második fázis az első fázis *inverze*, tulajdonságai megegyeznek az első fázissal, így a továbbiakban elegendő azt vizsgálni, hogy megkapjuk a teljes algoritmus lépésszámát. Ehhez felhasználjuk majd a következő definíciókat és lemmát.

Legyen  $P$  utak egy halmaza egy hálózatban. Azt mondjuk, hogy  $P$  **nem ismétlődő úthalmaz**, ha bármely két útra a  $P$  halmazból igaz, hogy a metszetük üres vagy összefüggő, azaz ha találkoznak, akkor egy darabig együtt mennek, majd szétválás után nem találkoznak többé.

Két csomagot **átfedőnek** mondunk egy hálózatban, ha az általuk megtett utak legalább egy közös élt tartalmaznak.

**4.5. lemma (sorban állási lemma).** *Legyen  $P$  utak halmaza egy hálózatban, amelyeken csomagok haladnak. Ha  $P$  nem ismétlődő úthalmaz, akkor tetszőleges  $p$  csomag késleltetése legfeljebb akkora, mint a  $p$ -vel átfedő csomagok száma.*

**Bizonyítás.** Legyen  $p$  egy tetszőleges csomag. Ha egyetlen  $p$ -vel átfedő csomag sem

késlelteti  $p$ -t egynél több alkalommal, akkor az állítás teljesül. Tegyük fel, hogy valamely  $q$   $p$ -vel átfedő csomag kétszer is késlelteti  $p$ -t. Ekkor  $q$  maga is késleltetve volt egy  $p$ -vel átfedő másik csomag által, amely így már nem fogja késleltetni  $p$ -t. ■

### 4.2.3. Az első fázis elemzése

Legyen  $\pi$  egy tetszőleges csomag, jelölje továbbá  $e_i$  az az élt amelyen  $\pi$  az  $i$ -edik szinten áthalad ( $1 \leq i \leq d$ ). A sorbaállási lemma alapján  $\pi$  késleltetésének meghatározásához elegendő meghatározni a  $\pi$ -vel átfedő csomagok számát. Jelöljük  $n_i$ -vel azon csomagok számát, amelyek útvonalában szerepel  $e_i$ . Ekkor

$$D = \sum_{i=1}^d n_i \quad (4.5)$$

felső korlát a  $\pi$ -vel átfedő csomagok számára. Tekintsük most az  $e_i$  élet. Ezen az élen legfeljebb  $2^i - 1$  csomag halad keresztül, mivel ennyi processzor van a nulladik szinten amelyek mohó útvonalában szerepelhet  $e_i$ . Minden ilyen csomag  $\frac{1}{2^i}$  valószínűséggel halad át az  $e_i$  élen mivel minden, a nulladik szintről induló, csomag  $\frac{1}{2}$  valószínűséggel választja vagy a közvetlen- vagy a keresztélt minden szinten, egymástól függetlenül,  $i$  szinten keresztül, míg áthalad  $e_i$ -n. Így az  $n_i$  értéke  $B(2^{i-1}, \frac{1}{2^i})$  binomiális eloszlású, melynek várható értéke  $\frac{1}{2}$ . Ebből következik, hogy  $D$  várható értéke a várható értékek összege, azaz  $\frac{d}{2}$ . Most megmutatjuk, hogy a teljes késleltetés nagy valószínűséggel  $O(d)$ . A  $D$  változónak  $B(d, \frac{1}{2})$  egy felső korlátja. A Csernov-egyenlőtlenséget felhasználva az alábbi egyenlőtlenségeket kapjuk:

$$P[D > e\alpha d] \leq \left(\frac{d/2}{e\alpha d}\right)^{e\alpha d} e^{e\alpha d - d/2} \quad (4.6)$$

$$< \left(\frac{1}{2e\alpha}\right)^{e\alpha d} e^{e\alpha d} \quad (4.7)$$

$$\leq \left(\frac{1}{2e\alpha}\right)^{e\alpha d} \quad (4.8)$$

$$< 2^{-e\alpha d} \quad (4.9)$$

$$< p^{-\alpha-1}, \quad (4.10)$$

ahol  $\alpha \geq 1$  és kihasználtuk azt a tényt, hogy  $d = \Theta(\lg p)$ . Mivel a csomagok száma  $p$ -nél kisebb, így annak a valószínűsége, hogy legalább egyikük  $2e\alpha d$ -nél nagyobb késleltetést szenved, kisebb, mint  $p^{-\alpha-1}p = p^{-\alpha}$ . Ezzel bebizonyítottuk a következő tételt.

**4.6. tétel (VÉLETLEN-CSOMAG-IRÁNYÍT lépésszáma).** A VÉLETLEN-CSOMAG-IRÁNYÍT algoritmus  $\mathcal{B}_d$ -n  $\bar{O}(d)$  lépést tesz.

Mivel bármely hálózatban a hálózat átmérője alsó korlát a csomagirányítási probléma maximális lépésszáma, így a fenti algoritmus nagy valószínűséggel aszimptotikusan optimális.

### A sorméret elemzése

Az algoritmus várakozási sorok mérete szintén  $\overline{O}(d)$ . Legyen  $v_i$  egy  $i$ -edik szintű processzor. A  $v_i$ -n potenciálisan átmenő csomagok száma  $2^i$ . Minden ilyen csomag  $1/2^i$  valószínűséggel halad át  $v_i$ -n, így az áthaladó csomagok várható értéke 1. A Csernov-egyenlőtlenség felhasználásával megmutatható, hogy az áthaladó csomagok száma  $\overline{O}(d)$ .

## 4.3. Alapvető algoritmusok

Ebben a fejezetben alapvető problémák – üzenetszórás, prefixszámítás, adat koncentráció – megoldására mutatunk hiperkocka algoritmusokat. Mindezen algoritmusok lépésszáma  $O(d)$ . Mivel a hálózat átmérője minden nem triviális probléma megoldásánál alsó korlát a lépésszáma, így ezek aszimptotikusan optimális algoritmusok.

### 4.3.1. Üzenetszórás fában

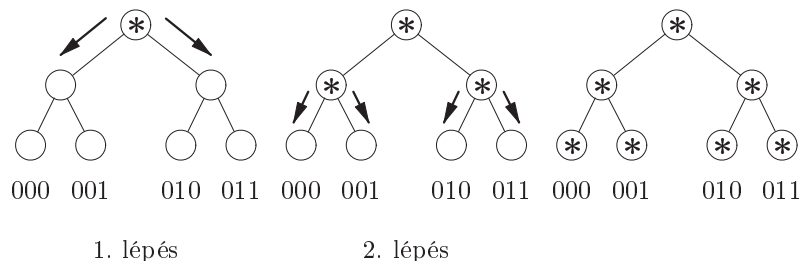
Az üzenetszórás problémája egy hálózatban azt a feladatot jelenti, amikor egy üzenetet valamely processzortól el kell juttatni a hálózathoz tartozó összes többi processzorhoz (vagy esetleg azok egy részhalmazához). Az üzenetszórást sokszor más algoritmusokba beépítve használjuk. A feladatot a FÁT-KOCKÁBA algoritmus segítségével oldjuk meg, amely a bináris fa architektúrájának hiperkockába való beágyazásán alapul. Feltesszük, hogy az elküldendő üzenet a fa gyökerében található. Ez a processzor két másolatot készít a csomagról és elküldi a két leszármazottjának. Ha a fa egy belső processzora kap egy csomagot, akkor arról egy-egy másolatot továbbküld gyerekeinek. Ez folytatódik mindaddig, amíg minden levélen megjelenik az üzenet egy példánya.

**4.7. tétel (üzenetszórás fában).** *A fában való üzenetszórást a FÁT-KOCKÁBA algoritmus egy soros  $\mathcal{H}_d$  hiperkockán  $\Theta(d)$  lépésben oldja meg.*

**Bizonyítás.** A beágyazott bináris fa magassága  $d$ , így  $O(d)$  lépés után minden levél processzor ismerni fogja az üzenetet. Az algoritmus végrehajtásakor minden időegységben a fának pontosan egy szintjén elhelyezkedő processzorok dolgoznak, más szóval az algoritmus normális, így egy lépése – amint azt a bináris fának a hiperkockába ágyazásakor megmutattuk –  $\mathcal{H}_d$ -nek pontosan egy lépésével szimulálható.

Másrészt legrosszabb esetben legalább egy levélhez el kell juttatni az üzenetet, ezért a fenti beágyazásra  $W(d, \text{FÁT-KOCKÁBA}) = \Omega(d)$ . ■

**4.1. példa.** *Üzenetszórás 4 levelű fában.* A 4.11. ábra egy 3 szintes fát mutat, melyben a gyökérben lévő üzenetet juttatjuk el a többi csúcshoz. Az ábra első része azt mutatja, hogy az első lépésben az üzeneteket a gyökércsúcs gyerekei kapják meg. A középső részen az üzenetek a gyerekek gyerekeihez, azaz a levélcsúcsokhoz jutnak el. Végül az ábra harmadik része a végső állapotot mutatja, amelyben már minden csúcs megkapta az üzenetet. Mivel a fát úgy ágyaztuk be a hiperkockába, hogy a fa különböző szintjein lévő processzorok a



4.11. ábra. Üzenetszórás 4 levelű fában.

hiperkocka különböző processzorára képződjenek le,  $\mathcal{H}_2$  két lépésben megoldja a feladatot.

### 4.3.2. Prefixszámítás fán

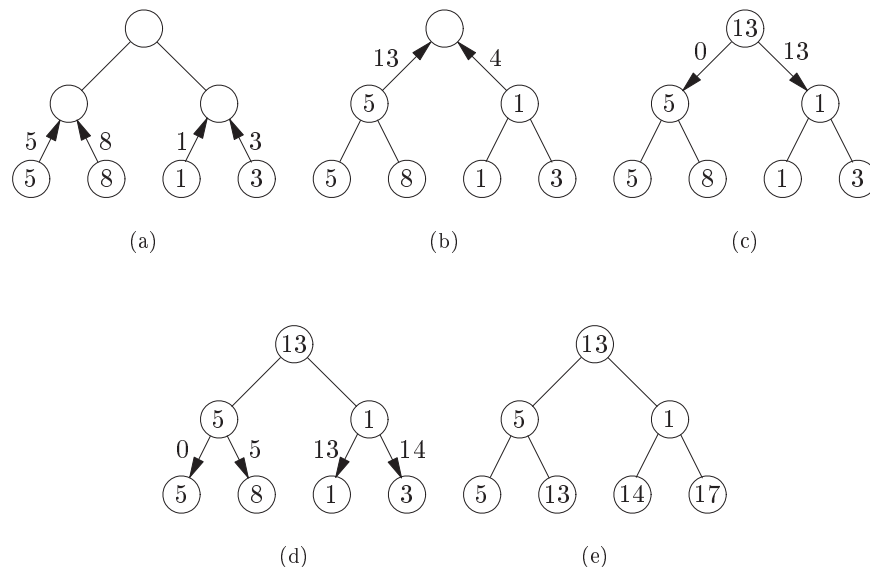
Ezen feladat megoldásához ismét a bináris fa beágyazását fogjuk felhasználni. Legyen  $x_i$  a bemenet a  $2^d$  levelű bináris fa  $i$ -edik levelén. Az alább bemutatott PREFIX-FÁBAN algoritmus két fázisban számítja ki az eredményt. Az első (felfelé haladó) fázisban az adatok felfelé áramlanak a bináris fában, a gyökér felé. A második fázisban (lefelé haladó) az adatok a gyökér felől haladnak a levelekhez. Mindkét fázis minden lépésében a bináris fának pontosan egy szintje vesz részt a számításban, azaz az algoritmus normális.

*Felfelé haladó fázis.* A levelek elküldik az  $x_i$ -ket a szülő csúcsoknak. A fa egy tetszőleges belső csúcsa, amennyiben két elemet kap ( $y$ -t a bal és  $z$ -t a jobb oldali leszármazottjától), akkor kiszámítja a  $w = y + z$  értéket, tárolja  $w$ -t és  $y$ -t, majd elküldi  $w$ -t a szülőjének. Az első fázis végére minden processzor kiszámítja és tárolja a hozzá tartozó részfában levő bemeneti elemek összegét. Így a gyökér az összes elem összegét tartalmazza.

*Lefelé haladó fázis.* A gyökérben levő processzor elküld egy nullát a bal oldali gyerekének és  $y$ -t a jobb oldalának. Egy tetszőleges belső processzor ha  $q$  értéket kapja a szülőjétől, akkor elküldi  $q$ -t a bal oldali és  $q \oplus y$  értéket a jobb oldali gyerekének. Az  $i$ -edik levél processzor, ha a szülőjétől a  $q$  értéket kapja, akkor kiszámolja és végeredményként tárolja az  $x_i + q$  értéket.

Az algoritmus felfelé haladó fázisában minden processzor a hozzá tartozó részfa leveleiben tárolt számok összegét számolja ki. Legyen  $P_v$  egy processzor és jelöljük  $P_{v'}$ -vel  $P_v$  részfájának legbaloldalibb levele. Ekkor a lefelé haladó fázis során a  $P_v$  által kapott  $q$  értéke, azaz  $q$  a  $P_{v'}$ -től balra eső elemek összege. Az észrevétel felhasználásával az algoritmus helyessége egyszerűen bizonyítható. Az algoritmus mindkét fázisa  $d - 1$  lépést igényel. Mivel minden időpillanatban a fának pontosan egy szintje aktív, így az algoritmus minden lépése szimulálható  $\mathcal{H}_d$  egy lépésével.

**4.2. példa.** *Prefixszámítás fán.* A 4.12. ábrán egy 4 levelű fa leveleiben vannak az 5, 8, 1 és 4 számok. A feladat a megfelelő prefixek számolása, ha az elvégzendő művelet az összeadás. Az ábra (a) része szerint minden levél elküldi a tárolt számot a szülőjének. A (b) ábrarész



4.12. ábra. Prefixszámítás bináris fán.

szerint a szülők tárolták a bal oldali gyerekektől kapott értéket (a kiszámított összeget is, de ezt az ábra nem mutatja), és szülőjüknek elküldték a kapott 2 szám összegét.

**4.8. tétel (prefixszámítás fán és pillangón).** A PREFIX-FÁN algoritmus a prefixszámítást  $2^d$  levelű bináris fán, valamint  $\mathcal{H}_d$ -n is  $\Theta(d)$  lépésben oldja meg.

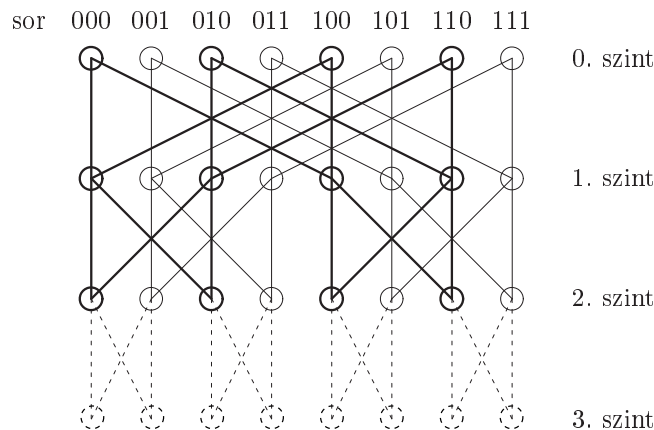
Összegzési feladatnak nevezzük az  $x_1 \oplus x_2 \oplus \dots \oplus x_n$  kifejezés értékének kiszámítását adott  $x_i$ -khez. A fenti algoritmus felfelé haladó fázisának végére kiszámítja ezt az összeget, így az összegzési feladat megoldásához szükséges idő a fele az összes prefix kiszámításához szükséges időnek.

### 4.3.3. Adatkoncentráció

Legyen egy  $\mathcal{H}_d$  hiperkocka  $k$  ( $k < p$ ) processzorán egy-egy elem elhelyezve. A feladat, hogy mozgassuk ezen elemeket a hiperkocka  $P_0, P_1, \dots, P_{k-1}$  processzoraira (processzoronként egy elemet elhelyezve).

Ha meg tudjuk határozni, hogy melyik processzorra kell juttatnunk, akkor a 4.2.2. pontban vizsgált véletlenített HÁROM-FÁZISÚ csomagirányítási algoritmus segítségével  $O(d)$  lépésben megtehetjük ezt. Ez az algoritmus párhuzamos (többportos) hiperkockát feltételez.

Van azonban egy jóval egyszerűbb, determinisztikus algoritmus is a feladat megoldására. Pontosabban a feladatra adunk egy normális megoldást pillangóhálózaton, majd felhasználjuk az ide vonatkozó beágyazási lemmát. Előtte azonban vizsgáljuk meg a pillangóhálózatok két tulajdonságát, amelyekre az algoritmus elemzésekor



4.13. ábra. A  $d$ -edik szinten lévő processzorok és élek eltávolítása.

hivatkozni fogunk.

1. *tulajdonság.* Ha egy pillangóhálózatból eltávolítjuk a  $d$ -edik szint összes processzorát és a hozzájuk kapcsolódó éleket (lásd 4.13. ábra), két  $d - 1$  szintes pillangóhálózatot kapunk eredményül. Az egyik hálózat az eredetinek a páros sorait tartalmazza, így ezt **páros alhálózatnak** nevezzük, a másik a páratlanokat, így az a **páratlan alhálózat**.

2. *tulajdonság.* A nulladik szint bármely processzora a leszármazottaival együtt egy  $2^d$  levelű bináris fát alkot, amelynek levelei pontosan a  $d$ -edik szintű processzorok.

Ezek után felvázolhatjuk az adatkoncentráció problémájának megoldó algoritmusát.

#### 4.3.4. Kiszámú elem rendezése hiperkockán

A ritka leszámláló rendezés problémája már szerepelt a harmadik fejezetben. Legyen  $X = k_0, k_1, \dots, k_{\sqrt{p}-1}$ , ahol  $p = 2^d$ . Az általánosság megszorítása nélkül feltehető, hogy  $d$  páros. Tegyük fel, hogy a bemenő adatok a hiperkocka azon processzorain vannak (processzoronként egy kulcs), melyek címkéjét úgy kapjuk, hogy a címkék  $d$  bitje közül az első  $\frac{d}{2}$ -t nullának választjuk. A rendezett sorozatot ugyanezen processzorokon állítjuk elő kimenetként.

Legyen  $P_v$  a  $\mathcal{H}_d$  hiperkocka egy processzora.  $P_v$  címkéje  $\langle i, j \rangle$  párként is fel fogható, ahol  $i$  az első  $\frac{d}{2}$  bit,  $j$  pedig a második  $\frac{d}{2}$  bit. Azok a processzorok, melyek címkéjének első fele  $i$  ( $0 \leq i \leq 2^{d/2} - 1$ ), egy  $\mathcal{H}_d$  hiperkockát alkotnak. Ezt a hiperkockát  $\mathcal{H}_d$   $i$ -edik sorának fogjuk nevezni. Hasonlóképpen határozzuk meg a hiperkocka  $j$ -edik oszlopát. A rendezendő kulcsok kezdetben a nulladik sor processzorain vannak. Az egyértelműség kedvéért tegyük fel, hogy az  $r$  rangú kulcs kimenetként a  $\langle 0, r - 1 \rangle$  ( $0 \leq r \leq 2^{d/2}$ ) processzoron fog megjelenni.

A KEVESET-KOCKÁN algoritmus a következőképpen működik.

KEVESET-KOCKÁN( $X, Y$ ) *párhuzamos eljárás*

*Számítási modell:* hiperkocka

*Bemenet:*  $X = k_0, k_1, \dots, k_{\sqrt{p}-1}$  (rendezendő kulcsok)

*Kimenet:*  $Y = l_0, l_1, \dots, l_{\sqrt{p}-1}$  (rendezett kulcsok)

```

01  $O_j$  in parallel for  $j \leftarrow 1$  to  $\sqrt{p} - 1$ 
    szórja  $k_j$ -t úgy, hogy minden sor
    megkapja  $X$  egy másolatát
02  $S_i$  in parallel for  $i \leftarrow 1$  to  $\sqrt{p} - 1$ 
    számítsa  $k_i$  rangját úgy, hogy a sor
    minden processzorához
    szétszórja  $k_i$ -t, majd a bemenet minden
    elemével összehasonlítja, és összeget számol
03  $S_i$  in parallel for  $0 \leq i \leq \sqrt{p} - 1$ 
    szórja szét a sorban  $k_i$  rangját
04  $S_i$  in parallel for  $i \leftarrow 0$  to  $\sqrt{p} - 1$ 
    if  $r(k_i) = r_i$ 
        then  $\langle i, r_i - 1 \rangle$  szórja  $k_i$ -t  $O_i$ 
        processzoraihoz úgy, hogy
        végül  $\langle 0, r_i - 1 \rangle$  megkapja
        azt a kulcsot, amelynek kiviteléért felelős

```

A lépésszám a következő.

**4.9. tétel (ritka leszámpláló rendezés kockán).** A KEVESET-KOCKÁN algoritmus legfeljebb  $\sqrt{p}$  kulcs ritka leszámpláló rendezését egy  $\mathcal{H}_d$  hiperkockán  $\Theta(d)$  lépésben végzi el.

**Bizonyítás.** Az algoritmus csak olyan műveleteket végez, amelyben egy sor vagy oszlop processzorai vesznek részt. Az elvégzett műveletek mindegyike – prefixszámítás, üzenetszórás, összehasonlítás –  $O(d)$  lépésben elvégezhető, és legrosszabb esetben  $\Omega(d)$  lépést igényel. ■

## 4.4. Kiválasztás

Az egyszerű kiválasztás célja, hogy adott  $n$  kulcs közül az  $i$ -edik ( $1 \leq i \leq n$ ) legkisebbet meghatározzuk. A korábbiakhoz hasonlóan két esetet vizsgálunk: az egyikben a processzorok  $p$  száma megegyezik a kulcsok  $n$  számával, a másikban pedig a processzorok száma kisebb, mint a kulcsoké.

Három algoritmust mutatunk be, mindegyik pillangó hálózaton fut. Az elsőnél  $p = n$ , a másik kettőnél  $p < n$ . Az első nagy valószínűséggel munkahatékony, a másik kettő viszont nem az.



#### 4.4.1. Véletlenített algoritmus a $p = n$ esetre (\*)

A PRAM-on futó munkahatékony véletlenített algoritmus alkalmazható hiperkockán is.

A KOCKÁN-KIVÁLASZT fokozatainak száma  $\overline{O}(1)$ . A PRAM-KIVÁLASZT első lépése hiperkockán  $O(1)$  lépést vesz igénybe. A 2. és 5. lépésekben szükséges prefixszámítás összesen  $O(d)$  lépésben elvégezhető. A 3. és 6. lépésekben a koncentráció ugyancsak megoldható  $O(d)$  lépésben. A 3. és 6. lépésekben szükséges ritka rendezés ugyanennyi lépést vesz igénybe. Mivel a 4. és 6. lépésben rendezett sorozatból kell kiválasztani, ezért az  $O(1)$  lépésben megoldható. A 2., 4. és 5. lépésben lévő üzenetszórás lépésigénye  $O(d)$ . Innen adódik a következő tétel.

**4.10. tétel (kiválasztás hiperkockán).** *Ha  $p = n$ , akkor a KOCKÁN-KIVÁLASZT algoritmus a kiválasztási feladatot a  $\mathcal{H}_d$  hiperkockán  $\overline{O}(d)$  idő alatt megoldja.*

#### 4.4.2. Véletlenített algoritmus a $p < n$ esetre (\*)

Tegyük fel, hogy  $\epsilon > 1$  és  $n = p^\epsilon$ . A PRAM modellen futó VÉLETLEN-KIVÁLASZT algoritmus módosított változata a rácsokhoz hasonlóan most is alkalmazható.

A KOCKÁN-VÉL-KIVÁLASZT algoritmus esetén minden processzor  $n/p$  kulccsal kezd. A **while** utasítás feltételét ( $N > D$ )-re változtatjuk (ahol  $D$  állandó). Az első lépésben minden processzor minden kulcsa  $1/(N^{1-(1/3\epsilon)})$  valószínűséggel lesz a mintában. Ezért ez a lépés ebben az esetben  $n/p$  lépésig tart. A második lépés változatlan és  $O(d)$  lépést vesz igénybe. A 3. lépésben a koncentráció és a ritka leszámpláló rendezés is végrehajtható  $O(d)$  lépésben. A 4., 5. és 6. lépések szintén végrehajthatók  $O(d)$  lépésben. Így minden fokozat  $O(n/p+d)$  lépést vesz igénybe. Az algoritmusnak  $\overline{O}(\lg \lg n)$  fokozatra van szüksége. A 6 lépésre külön kapott becslések összegét a fokozatszámra kapott becsléssel összeszorozva kapjuk a következő tételt.

**4.11. tétel (kiválasztás hiperkockán).** *Ha  $c > 1$  és  $n = p^c$ , akkor a kiválasztási feladat a  $\mathcal{H}_d$  hiperkockán  $\overline{O}(((n/d) + d) \lg \lg p)$  idő alatt megoldható.*

#### 4.4.3. Determinisztikus algoritmus a $p < n$ esetre

A négyzetben futó kiválasztó algoritmus adaptálható hiperkockára. Az így kapott KOCKÁN-DET-KIVÁLASZT algoritmus lépésszámának elemzése hosszú, csak az eredményét adjuk meg.

**4.12. tétel (kiválasztás hiperkockán).** *Ha  $p < n$ , akkor a KOCKÁN-DET-KIVÁLASZT algoritmus a kiválasztási feladat a  $\mathcal{H}_d$  hiperkockán  $O\left(\frac{n}{p} \lg \lg p + d^2 \lg n\right)$  lépésben megoldja.*

**4.3. példa.** Legnagyobb elem kiválasztása hiperkockán Tegyük fel, hogy a  $\mathcal{H}_3$  hiperkocka minden processzorának memóriájában 5-5 kulcsot helyezünk el – ahogyan azt a 4.14. ábra mutatja. A feladat a harminckettedik legkisebb elem kiválasztása.

Processzor	000	001	010	011	100	101	110	111
	5	20	18	35	63	21	62	11
	10	15	24	42	71	9	51	28
	6	7	12	3	1	36	45	17
	4	16	13	19	2	47	8	81
	27	23	32	22	55	26	30	25
↓ A súlyozott médián 22.								
	27	23	24	35	63	36	62	28
			32	42	71	47	51	81
					55	26	45	25
							30	
↓ A súlyozott médián 36.								
	-	-	-	42	63	47	62	81
					71		51	
					55		45	

4.14. ábra. Kiválasztás 8 elem közül

Először minden processzor meghatározza saját kulcsainak mediánját – ezeket az ábra felső részén bekarikáztuk. Ezen mediánok rendezett sorozata 6, 16, 18, 22, 25, 26, 45, 55. Mivel most minden processzornál 5-5 kulcs van, a súlyozott médián megegyezik a mediánnal, ami 22. Ezután meghatározzuk  $M = 22$  rangját, ami 21. Mivel  $i = 32 > 21$ , a 22-nél kisebb vagy vele egyenlő kulcsokat elhagyjuk.  $i$  frissített értéke  $32 - 21 = 11$  lesz. Ezzel a **while** ciklus egy menetét befejeztük.

A **while** ciklus következő menetében 19 elemmel kezdünk. Az ábra középső részén bekarikáztuk a helyi mediánokat. A mediánok rendezett sorozata 23, 24, 27, 28, 35, 36, 45, 63, a megfelelő súlysorozat pedig 1, 2, 1, 3, 2, 3, 4, 3, így a súlyozott médián 36. Elhagyjuk a kis kulcsokat és  $i = 11 - 10 = 1$  lesz az új  $i$  érték. Ezzel vége a **while** ciklus következő menetének.

Így folytatva megkapjuk, hogy a kiválasztás eredménye a megmaradt 9 szám közül a legkisebb, a 42.

## 4.5. Összefésülés

Amint már láttuk az előző két fejezetben, az összefésülés célja, hogy két rendezett sorozatból a két sorozat minden elemét tartalmazó, rendezett sorozatot állítsunk elő.

Beláttuk, hogy ez a feladat hiperkockán –  $m$  hosszúságú bemenő sorozatokra –  $m^2$  processzoron  $O(\lg m)$  idő alatt megoldható. A számítási modell most is a hiperkocka lesz, de csak  $2m$  processzort használunk (feltéve, hogy  $m$  2 hatványa).

#### 4.5.1. Páratlan-páros összefésülés

Legyen  $X_1 = k_0, k_1, \dots, k_{m-1}$  a két összefésülendő rendezett sorozat, ahol  $2m = 2^d$ .

Először szétválasztjuk  $X_1$  és  $X_2$  páros és páratlan részét. Legyenek ezek  $O_1, E_1, O_2$  és  $E_2$ . Ekkor  $E_1$ -et rekurzívan összefésüljük  $O_2$ -vel, az eredmény  $A = a_0, a_1, \dots, a_{m-1}$ . Ugyanígy kapjuk  $B = b_0, b_1, \dots, b_{m-1}$ -et  $O_1$ -ből és  $E_2$ -ből. Ezután  $A$  és  $B$  összekeverésével kapjuk a  $C = a_0, b_0, a_1, b_1, \dots, a_{m-1}, b_{m-1}$  sorozatot, majd rendre összehasonlítjuk (és szükség esetén felcseréljük  $a_i$ -t és  $b_i$ -t ( $0 \leq i \leq m-1$ )). Az algoritmus helyessége belátható a 0-1-elv segítségével.

**4.4. példa.**  $2 \times 4$  elem összefésülése. Legyen  $X_1 = 7, 11, 24, 30$  és  $X_2 = 2, 4, 27, 45$ . Ebben az esetben  $O_1 = 11, 30$  és  $E_1 = 7, 24$ ,  $O_2 = 4, 45$  és  $E_2 = 2, 27$ .  $E_1$  és  $O_2$  összefésülésével  $A = 4, 7, 24, 45$  adódik. Hasonlóképpen  $B = 2, 11, 27, 30$ .  $A$  és  $B$  összekeverésének eredménye  $C = 4, 2, 7, 11, 24, 27, 45, 30$ . Ha a 4-et és 2-t, valamint a 45-öt és 30-at felcseréljük, akkor az eredmény  $2, 4, 7, 24, 27, 30, 45$ .

A módosított algoritmust könnyű a  $\mathcal{B}_\Gamma$  pillangón megvalósítani. Például  $X_1$  és  $X_2$  páros és páratlan részre való felbontása a pillangó hálózaton egy lépésben elvégezhető.

A keverési művelet szintén könnyen elvégezhető. tegyük fel, hogy  $X_1$  és  $X_2$  is a  $\mathcal{B}_d$  pillangó hálózat  $d$ -edik szintjének bemenő adatai. Legyen  $X_1$  a bemenet az első  $m$  sorban és  $X_2$  a második  $m$  sorban. Az algoritmus első lépése  $X_1$  és  $X_2$  szétválasztása páratlan és páros részre. Ezután rekurzívan összefésüljük  $E_1$ -et  $O_2$ -vel és  $O_1$ -et  $E_2$ -vel. Ennek érdekében az első  $m$  sorban lévő kulcsokat a közvetlen éleken, a többi kulcsot a keresztéleken mozgatjuk (lásd 4.15. ábra).

**4.13. tétel.** Ha  $m = 2^d$ , akkor két  $m$  hosszúságú lista mind a  $\mathcal{B}_d$  pillangó hálózaton, mind pedig a  $\mathcal{H}_d$  hiperkocka hálózaton összefésülhető  $O(d)$  idő alatt.

#### 4.5.2. Biton összefésülés

A  $K = k_0, k_1, \dots, k_{n-1}$  sorozatot *biton sorozatnak* nevezzük, ha rendelkezik a következő két tulajdonság valamelyikével:

a) van olyan  $j$  ( $0 \leq j \leq n-1$ ) index, amelyre  $k_0 \leq k_1 \leq \dots \leq k_j$  és  $k_j \geq k_{j+1} \geq \dots \geq k_{n-1}$ ;

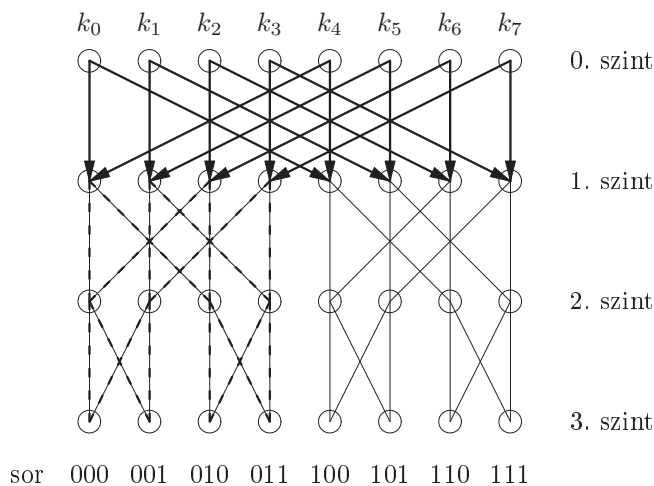
b) van olyan  $j$  ( $1 \leq j \leq n-1$ ) index, amelyre a  $K$  sorozat  $K' = k_{j+1}, k_{j+2}, \dots, k_{n-1}, k_1, k_2, \dots, k_{j-1}$  ciklikus eltolta rendelkezik az előző tulajdonsággal.

Megmutatjuk, hogyan lehet rendezni egy biton sorozatot pillangó hálózaton.

Az első lépésben – ahogyan ezt a 4.16. ábra mutatja – a nulladik szint processzorai mind a közvetlen, mind a kereszt éleken elküldik a kulcsukat. Az első szint processzorai felülről 2-2 kulcsot kapnak.

Processzor	000	001	010	011	100	101	110	111
	5	20	18	35	63	21	62	11
	10	15	24	42	71	9	51	28
	6	7	12	3	1	36	45	17
	4	16	13	19	2	47	8	81
	27	23	32	22	55	26	30	25
↓ A súlyozott médián 22.								
	27	23	24	35	63	36	62	28
			32	42	71	47	51	81
					55	26	45	25
							30	
↓ A súlyozott médián 36.								
	-	-	-	42	63	47	62	81
					71		51	
					55		45	

4.15. ábra. Páratlan-páros összefésülés pillangón.



4.16. ábra. Bitonikus összefésülés pillangó hálózaton.

4.14. tétel. Egy  $2^d$  hosszúságú biton sorozat mind a  $\mathcal{B}_d$  pillangó hálózaton, mind

pedig a  $\mathcal{H}_d$  hiperkocka hálózaton rendezhető  $O(d)$  idő alatt.

## 4.6. Rendezés

Ebben az alfejezetben hiperkocka és pillangó hálózat lesz a számítási modell.

### 4.6.1. Páratlan-páros összefésülő rendezés

Első algoritmusunk a PÁROS-PÁRATLAN-FÉSÜL-RENDEZ egy megvalósítása.

Jelöljük  $R(d)$ -vel algoritmusunk lépésszámát  $\mathcal{B}_d$ -n. Ekkor

$$R(d) = R(d-1) + O(d). \quad (4.11)$$

Ennek a rekurzív egyenletnek a megoldása  $S(d) = O(d^2)$ .

**4.15. tétel.** Ha  $p = 2^d$ , akkor  $p$  elem mind a  $\mathcal{B}_d$  pillangó hálózaton, mind pedig a  $\mathcal{H}_d$  soros hiperkockán rendezhető  $O(d^2)$  idő alatt.

### 4.6.2. Biton rendezés

Az összefésülő rendezés alapötlete a biton összefésülő algoritmussal kapcsolatban is alkalmazható – az eredmény a PILLANGÓN-BITON-RENDEZ algoritmus.

Most ismét felírhatjuk a 4.11 rekurzív egyenletet, ahonnan a következő lépésszámot kapjuk.

**4.16. tétel (biton sorozat rendezése pillangón és hiperkockán).** A PILLANGÓN-BITON-RENDEZ algoritmus  $p = 2^d$  elemet  $O(d^2)$  lépésben rendez a  $\mathcal{B}_d$  pillangó hálózaton, és ugyancsak  $O(d^2)$  lépésben hiperkockán.

## 4.7. Gráfalgoritmusok

Ebben az alfejezetben minmátrix, tranzitív lezárt, összefüggő komponensek és minimális feszítőfa meghatározására szolgáló algoritmusokat mutatunk be.

### 4.7.1. Minmátrix meghatározása

Újra alkalmazzuk a második fejezetben bevezetett formalizmust.

Legyen  $q$  egy pozitív egész szám,  $n = 2^q$  és legyen  $M[0 : n-1, 0 : n-1]$  egy  $n \times n$  méretű mátrix. Az  $M$  mátrix minmátrixának számítására a  $\mathcal{H}_{3q}$  hiperkockát fogjuk használni, amelyben  $2^{3q}$  processzor van, melyek címkéi  $3q$  bit hosszúak. Ezek a címkék  $\langle i, j, k \rangle$  alakban is felírhatók, ahol  $i$  a címke első  $q$  bitjét,  $j$  a címke második  $q$  bitjét és  $k$  a címke harmadik  $q$  bitjét jelentik.

Jelölje  $(i, \star, \star)$  ( $0 \leq i \leq 2^q - 1$ ) a  $\mathcal{H}_{3q}$  hiperkocka azon processzorait, melyek címkéjében az első  $q$  bit bináris számként  $i$ . Ezek a processzorok együtt egy  $\mathcal{H}_{2q}$

hiperkockát alkotnak. Hasonlóképpen definiáljuk a  $(\star, j, \star)$ ,  $(\star, \star, k)$ ,  $(i, j, \star)$ ,  $(i, \star, k)$  és  $(\star, j, k)$  jelöléseket is.

Ekkor a KOCKÁN-MINMÁTRIX algoritmus a következőképpen működik.

KOCKÁN-MINMÁTRIX(par) *párhuzamos eljárás*

*Számítási modell:* hiperkocka

*Bemenet:*  $M$  (egész elemeket tartalmazó mátrix)

*Kimenet:*  $M$  minmátrixa

01 frissítsük a  $q[i, j, k]$  elemeket

02 frissítsük az  $m[i, j]$  értékeket

A lépésszám a következő.

**4.17. tétel.** *Ha  $M$  egy  $n \times n$  méretű mátrix, akkor a KOCKÁN-MIN-MÁTRIX algoritmus  $M$  minmátrixát egy  $\mathcal{H}_{3l}$  hiperkockán  $O(\lg^2 n)$  lépésben meghatározza.*

**Bizonyítás.** Az algoritmus első szakaszában az üzenetszórás és a mátrixtranszponálás  $O(\lg n)$  lépésben végrehajtható. A második szakaszban az  $m[i, j]$  értékek frissítése prefixszámítással megoldható  $O(\lg n)$  lépésben. A négyzetten futó algoritmusban szereplő két üzenetszórás helyett itt a hiperkockában üzenetszórást végző algoritmust alkalmazzuk, ugyancsak  $O(\lg n)$  lépésszámmal.

Tehát a **for** ciklus magjának minden végrehajtása  $O(\lg n)$  lépést vesz igénybe. Mivel a ciklusmagot  $\lg n$ -szer kell végrehajtani, ebből a lépésszám felső korlátja már adódik.

Mivel például a második szakaszban végzett prefixszámítás lépésszáma  $\Omega(n)$ , ezért az elemzett algoritmus lépésszámának nagyságrendje valóban  $\lg^2 n$ . ■

#### 4.7.2. Tranzitív lezárt

Irányított gráf tranzitív lezártját a második fejezetben definiáltuk.

**4.18. tétel.** *Egy  $n$ -csúcsú irányított gráf tranzitív lezártja  $O(\lg^2 n)$  lépésben meghatározható egy  $n^3$  processzort tartalmazó hiperkockán.*

**Bizonyítás.** Állításunk a 4.17. tétel következménye. ■

#### 4.7.3. Összefüggő komponensek

Gráfok összefüggő komponenseit a második fejezetben definiáltuk.

**4.19. tétel.** *Egy  $n$  csúcsú irányított gráf összefüggő komponensei egy  $n^3$  processzort tartalmazó hiperkockán  $O(\lg^2 n)$  lépésben meghatározhatók.*

**Bizonyítás.** Állításunk a 4.17. tétel következménye. ■

#### 4.7.4. Legrövidebb utak

A HIPERKOCKÁN-UTAK algoritmus lépésszámára vonatkozik a következő tétel.

**4.20. tétel.** A HIPERKOCKÁN-UTAK algoritmus egy  $n$ -csúcsú irányított gráf összes csúcspárjának távolságát meghatározza  $O(\lg^2 n)$  lépésben egy  $\frac{n^3}{\lg n}$  processzort tartalmazó hiperkockán.

**Bizonyítás.** A PRAM modellek elemzése során megmutattuk, hogy egy gráf csúcsai közötti távolságokat  $\lg n$  mátrixszorzás segítségével meghatározhatók.

Két  $n \times n$  méretű mátrix egy  $\frac{n^3}{\lg n}$  processzoros hiperkockán  $O(\lg n)$  lépésben összeszorozható. ■

#### 4.7.5. Konvex burok

A konvex burok számítására – hasonlóan a PRAM és négyzet modellek esetéhez – *oszd meg és uralkodj* elvű algoritmust javasolunk.

Ha a rekurzív algoritmusunk lépésszámát a  $d$ -dimenziós hiperkockán  $K(d)$ -vel jelöljük, akkor

$$K(d) = K(d-1) + O(d^2), \quad (4.12)$$

ahonnan  $K(d) = O(d^3)$ .

**4.21. tétel.** Ha  $n = 2^d$ , akkor egy sík  $n$  pontjának konvex burka  $O(\lg^3 n)$  lépésben meghatározható a  $\mathcal{H}_d$  hiperkockán.

### Gyakorlatok

**4.7-1.** Állapítsuk meg, van-e Euler-kör és/vagy Hamilton-kör a vizsgált hálózatokban?

**4.7-2.** Mennyi idő alatt lehet egy üzenetet eljuttatni a fejezetben vizsgált hálózatok adott processzorától az összes többihez? Tervezzünk bejárési algoritmusokat és elemezzük lépésszámukat.

**4.7-3.** Mutassuk meg, hogy egy pillangó hálózat első szintjén lévő processzorból pontosan egy út vezet a  $d$ -edik szint bármelyik processzorához.

**4.7-4.** Foglaljuk táblázatba a vizsgált hálózatok jellemző tulajdonságait.

**4.7-5.** Hányféleképpen lehet beágyazni a 4.3. ábra bal oldalán látható  $G$  hálózatot az ábra jobb oldalán látható  $H$  hálózatba?

**4.7-6.** Adjuk meg a  $\mathcal{G}_3$ ,  $\mathcal{G}_4$  és  $\mathcal{G}_5$  Gray-kódokat.

**4.7-7.** Tervezzünk  $O(kd)$  lépésszámú algoritmust, amely  $2^d$   $k$ -bites kulcsnak a  $\mathcal{B}_d$  pillangó hálózaton való rendezésére.

## Feladatok

### 4-1. Gray-kód elemzése

Adjuk meg, összesen hány nullát és hány egyest tartalmaz  $\mathcal{G}_k$  ( $k \geq 1$ ). Hány olyan elrendezése van a  $k$ -jegyű bináris számoknak, melyekre jellemző, hogy az  $i$ -edik ( $2 \leq i \leq 2^k$ ) szám pontosan egy helyen tér el az  $(i-1)$ -edikétől? Hány ilyen ciklikus elrendezés van?

#### 4-2. Rács beágyazása hiperkockába

Tekintsük egy  $4 \times 8$  méretű rácsnak  $\mathcal{H}_5$ -be ágyazását. Az első két bitet használjuk a rács sorainak, a további három bitet pedig a rács oszlopainak azonosítására:  $\mathcal{G}_2$  feleljen meg a nulladik, első, második, illetve harmadik sornak. Ugyanígy  $\mathcal{G}_3$  elemei rendre megfelelnek a  $0., 1., \dots, (n-1)$ . oszlopnak. Adjuk meg a beágyazás jellemző adatait (felfúvódás, késleltetés, torlódás).

#### 4-3. Teljes bináris fa beágyazása de Bruijn-hálózatba

Mutassuk meg, hogy egy  $d$  szintes teljes bináris fa beágyazható egy  $d$ -dimenziós de Bruijn-hálózatba úgy, hogy a beágyazás késleltetése 1.

#### 4-4. Mohó algoritmus korlátjának élessége

Lássuk be, hogy a mohó algoritmus lépésszámára és sorhosszúságára bizonyított felső korlát aszimptotikusan éles, azaz van csomagirányítási feladatoknak olyan sorozata amelyre a ?? egyenletben megadott nagyságrend a jellemző. *Útmutatás.* Vizsgáljuk meg azt az úgynevezett bitfordítási feladatot, ahol a  $b_1 \dots b_d$  sorbeli csomag címzettje a  $b_d \dots b_1$  sorbeli processzor. Vizsgáljuk meg ebben az esetben egy  $(d/2)$ -edik szintű él forgalmát.

#### 4-5. Polinomok szorzása

Tervezzünk algoritmust, amely két  $2^d$ -edfokú polinomot  $O(d)$  idő alatt összeszoroz a  $\mathcal{B}_d$  pillangó hálózaton.

#### 4-6. Gyors Fourier-transzformáció

Tervezzünk algoritmust, amely a  $\mathcal{B}_d$  pillangó hálózaton kiszámítja egy  $2^d$  hosszúságú vektor gyors Fourier-transzformáltját.



# Névmutató

Ez a névmutató

## **CS**

Csernov, H., [175](#), [176](#)

## **E, É**

Euler, Leonhard, [187](#)

## **G**

Gray, Frank, [169](#), [187](#)

## **H**

Hamilton, William Rowan, [187](#)  
Hamming, Richard Wesley, [166](#)

# Tárgymutató

Ez a tárgymutató a következő szempontok szerint készült.

Először a matematikai jelöléseket soroljuk fel (latin ábécé, majd a görög ábécé szerinti sorrendben), azután a tárgyszavakat.

A számokat és görög betűket tartalmazó tárgyszavakat kiejtésük szerint rendezzük: például az „1-értékű”-t „egyértékű”-ként, a  $\lambda$ -t „lambda”-ként. A jelölést tartalmazó tárgyszavakat elemeik szerint rendezzük: például a „ $k$ -megegyezés”-t „ $k$  megegyezés”-ként.

A különböző típusú objektumokat lehetőség szerint tipográfiaailag is megkülönböztettük. A matematikai jelöléseket és a programokban használt változók neveit dőlt betűk emelik ki, mint például  $\Omega(n \lg n)$  vagy *Rang*[*Szomszéd*]. Az algoritmusok neveit kis kapitális betűkkel írtuk, mint például KIVÁLASZT. Az algoritmusok kódjában a programozási alapszavakat felkövéren szedtük, mint például **if**, **then**, **else**, **in parallel for**, **does**.

Az algoritmusok nevében kiskötőjelet használtunk, viszont a változók neveiben alsó kötőjelet, mint például PP-ÖSSZEFÉSÜL és *Bal-szomszéd*. Az egyes fogalmak meghatározásának helyére a tárgymutató dőlt oldalszámmal utal.

Elsősorban az algoritmusokat tárgyaló tankönyvek matematikai jelöléseit alkalmaztuk. Az oldalszámok felsorolásánál nem törekedtünk teljességre.

## A, Á

adat koncentráció, [176](#)

adatkoncentráció

hiperkockán, [176](#)

átfedő csomagok, [174](#)

átmérő, [176](#)

## B

beágyazás, [168](#)

fáé, [171](#)

gyűrűé, [168](#)

tóruszé, [170](#)

beágyazás késleltetése, [168](#)

beágyazás torlódása, [168](#)

bejárési algoritmus, [187](#)

bináris fa alakú hálózat, [171](#)

biton rendezés, [185](#)

biton sorozat, [183](#)

## CS

Csernov-egyenlőtlenség, [175](#), [176](#)

## D

$d$ -reguláris, [166](#)

## E, É

él torlódása, [168](#)

Euler-kör, [187](#)

## F

fa beágyazása, [171](#)

felfűvódás, [168](#), [170](#)

## G

Gray-kód, [169](#), [187](#)

## GY

gyűrű, [168](#)

## H

hálózat

bináris fa, [171](#)

hiperkocka, [165](#)

Hamilton-kör, [187](#)

Hamming-távolság, [166](#)

HÁROM-FÁZISÚ, [178](#)

hiperkocka, [165](#), [181](#), [185](#)

párhuzamos, [166](#)

soros, [166](#)

hiperkocka fokszáma, [166](#)

hiperkocka  $i$ -edik sora, [179](#)

## I, Í

$i$ -edik szintű kapcsolat, [166](#)

## J

$j$ -edik oszlop, [179](#)

**K**

$k$ -adrendű Gray-kód, [169](#)  
 $k$ -adrendű Gray-kód, [169](#)  
kereszt kapcsolat, [167](#)  
késltetés, [170](#)  
KEVESET-KOCKÁN, [180](#)  
kiválasztás, [181](#)  
    hiperkockán, [181](#)  
konvex burok, [187](#)  
közvetlen kapcsolat, [167](#)

**L**

legnagyobb helyiértékű bitek, [170](#)  
legrövidebb utak, [187](#)  
( $l + 1$ )-edik szintű kapcsolat, [167](#)

**M**

minmátrix, [185](#)  
mohó út, [167](#)  
MSB, *lásd* legnagyobb helyi értékű bitek

**N**

nem ismétlődő úthalmaz, [174](#)  
normális algoritmus, [168](#)

**Ö, Ő**

összefésülés, [183](#)  
    hiperkockán, [183](#)  
    pillangó hálózaton, [183](#)  
összefüggő komponensek, [186](#)  
összegzési feladat, [178](#)

**P**

páratlan alhálózat, [179](#)  
parciális permutáció, [172](#)  
párhuzamos hiperkocka, [166](#)

páros alhálózat, [179](#)

PILLANGÓ-BITON-RENDEZ, [185](#)

pillangó hálózat, [166](#), [185](#)

PREFIX-FÁBAN, [177](#)

prefixszámítás, [176](#)

    hiperkockán, [176](#)

processzor

    belső, [171](#)

    gyerek, [171](#)

    gyökér, [171](#)

    levél, [171](#)

processzor szintje, [167](#)

**R**

rendezés, [185](#)

    biton sorozaté, [185](#)

    hiperkockán, [185](#)

    pillangó hálózaton, [185](#)

ritka leszámpláló rendezés, [179](#)

**S**

sorindex, [167](#)

sorméret, [176](#)

soros hiperkocka, [166](#)

**T**

torlódás, [170](#)

tórusz, [170](#)

tranzitív lezárt, [186](#)

**Ű, Ū**

üzenetszórás, [176](#)

**V**

VÉLETLEN-CSOMAG-IRÁNYÍT, [175](#)

# Tartalomjegyzék

<b>4. Hiperkocka</b>	<b>165</b>
4.1. Számítási modellek	165
4.1.1. Hiperkocka	165
4.1.2. Pillangó hálózat	166
4.1.3. Hálózatok beágyazása	168
Gyűrű beágyazása	168
Tórusz beágyazása	170
Bináris fa beágyazása	171
4.2. Csomagirányítás	172
4.2.1. Mohó algoritmus	172
4.2.2. Véletlenített algoritmus	173
4.2.3. Az első fázis elemzése	175
A sorméret elemzése	176
4.3. Alapvető algoritmusok	176
4.3.1. Üzenetszórás fában	176
4.3.2. Prefixszámítás fán	177
4.3.3. Adatkoncentráció	178
4.3.4. Kiszámú elem rendezése hiperkockán	179
4.4. Kiválasztás	180
4.4.1. Véletlenített algoritmus a $p = n$ esetre (*)	181
4.4.2. Véletlenített algoritmus a $p < n$ esetre (*)	181
4.4.3. Determinisztikus algoritmus a $p < n$ esetre	181
4.5. Összefésülés	182
4.5.1. Páratlan-páros összefésülés	183
4.5.2. Biton összefésülés	183
4.6. Rendezés	185
4.6.1. Páratlan-páros összefésülő rendezés	185
4.6.2. Biton rendezés	185
4.7. Gráfalgoritmusok	185
4.7.1. Minmátrix meghatározása	185
4.7.2. Tranzitív lezárt	186
4.7.3. Összefüggő komponensek	186
4.7.4. Legrövidebb utak	187
4.7.5. Konvex burok	187

Tartalomjegyzék	193
Névmutató . . . . .	189
Tárgymutató . . . . .	190